
ATTI ACCADEMIA NAZIONALE DEI LINCEI
CLASSE SCIENZE FISICHE MATEMATICHE NATURALI
RENDICONTI

MARIO COMO

La piastra circolare volante, la piastra su tre appoggi puntiformi e problemi che ad esse si riferiscono. Nota II

*Atti della Accademia Nazionale dei Lincei. Classe di Scienze Fisiche, Matematiche e Naturali. Rendiconti, Serie 8, Vol. **33** (1962), n.5, p. 281–288.*

Accademia Nazionale dei Lincei

[http://www.bdim.eu/item?id=RLINA_1962_8_33_5_281_0]

L'utilizzo e la stampa di questo documento digitale è consentito liberamente per motivi di ricerca e studio. Non è consentito l'utilizzo dello stesso per motivi commerciali. Tutte le copie di questo documento devono riportare questo avvertimento.

Atti della Accademia Nazionale dei Lincei. Classe di Scienze Fisiche, Matematiche e Naturali. Rendiconti, Accademia Nazionale dei Lincei, 1962.

Meccanica. — *La piastra circolare volante, la piastra su tre appoggi puntiformi e problemi che ad esse si riferiscono.* Nota II (*) di MARIO COMO, presentata dal Socio G. KRALL.

1. *Piastra circolare su tre appoggi circolari puntiformi equidistanti con carico del tipo*

$$(10) \quad p(r, \theta) = p \rho^n \cos \theta$$

per n intero qualsiasi.

L'integrale particolare $w_o(r, 0)$ che rappresenta la deformata della piastra appoggiata lungo tutto il contorno e sollecitata dal carico (10) è fornito da

$$(11) \quad w_o(r, \theta) = (A_1 r^{n+4} + A_2 r + A_3 r^3) \cos \theta \text{ (1)}$$

con:

$$(12) \quad A_1 = \frac{p}{BR^n} \frac{1}{(n+1)(n+3)^2(n+5)}$$

$$(12') \quad A_2 = \frac{pR^3}{2B(3+\nu)} \frac{(n+4)(n+3)+\nu(n+1)-6}{(n+1)(n+3)^2(n+5)}$$

$$(12'') \quad A_3 = -\frac{pR}{2B(3+\nu)} \frac{n+4+\nu}{(n+1)(n+3)(n+5)}.$$

La reazione al contorno vale:

$$(13) \quad (V_r)_{r=R} = \frac{pR}{n+3} \cos \theta.$$

Poiché la posizione dei tre appoggi crea nella deformata un asse di simmetria di equazione $\theta = 0$, l'integrale generale viene più semplicemente espresso da:

$$(14) \quad w_i(r, \theta) = A_0 + C_0 r^2 + \sum_{m=1}^{\infty} (A_m r^m + C_m r^{m+2}) \cos m\theta.$$

D'altra parte, con semplici considerazioni di equilibrio, per le reazioni N_1 , N_2 ed N_3 si hanno i valori:

$$(15) \quad N_1 = \frac{2}{3} \frac{\pi p R^2}{n+3} \quad ; \quad N_2 = N_3 = -\frac{1}{3} \frac{\pi p R^2}{n+3}.$$

Le costanti incognite A_m e C_m vengono quindi determinate coll'imporre le condizioni al contorno (9) e (9').

(*) Pervenuta all'Accademia il 21 ottobre 1962.

(1) Se si pone $n = 1$ si ha:

$$A_1 = \frac{p}{192 BR} \quad ; \quad A_2 = \frac{pR^3}{192 B} \frac{7+\nu}{3+\nu} \quad ; \quad A_3 = -\frac{2pR}{192 B} \frac{5+\nu}{3+\nu}$$

e si ricade nelle formule riportate dal Timoshenko.

Si deduce così, con riferimento alle (6):

$$(16) \quad w(r, \theta) = w_0(r, \theta) - \frac{\rho R^4 \rho \cos \theta}{2(n+3)(3+\nu) B} \sum_{2,4,5 \dots}^{\infty} \frac{1}{m(m-1)} \left[\frac{m(\nu-1)-2(1+\nu)}{m(\nu-1)} - \frac{m-1}{m+1} \right] + \\ + \frac{\rho R^4}{2(n+3)(3+\nu) B} \sum_{2,4,5 \dots}^{\infty} \frac{1}{m(m-1)} \left[\frac{m(\nu-1)-2(1+\nu)}{m(\nu-1)} \rho^m - \frac{m-1}{m+1} \rho^{m+2} \right] \cos m\theta.$$

Per i momenti M_r ed M_t , si ha inoltre:

$$(17) \quad M_r = M_{r0} + \frac{\rho R^2}{2(n+3)(3+\nu)} \sum_{2,4,5 \dots}^{\infty} \frac{m(\nu-1)-2(1+\nu)}{m} (\rho^{m-2} - \rho^m) \cos m\theta \\ (17') \quad M_t = M_{t0} + \\ + \frac{\rho R^2}{2(n+3)(3+\nu)} \sum_{2,4,5 \dots}^{\infty} \left[\frac{(1-\nu)m+2(1+\nu)}{m} \rho^{m-2} + \frac{m(\nu-1)+2(1+\nu)}{m} \rho^m \right] \cos m\theta.$$

Le serie (17) e (17') che rappresentano i momenti M_r ed M_t , hanno una convergenza ben più lenta della serie (13) che definisce la superficie elastica della piastra.

TABELLA I.

Valori di $w \cdot \frac{B}{\rho R^4}$ con $\rho(r, \theta) = \rho \cos \theta$.

$\theta \backslash \rho$	0,2	0,4	0,6	0,8	1
0°	- 0,009.259	- 0,013.905	- 0,014.214	- 0,009.167	- 0
15°	- 0,009.146	- 0,013.954	- 0,015.746	- 0,013.089	- 0,007.822
30°	- 0,008.701	- 0,014.832	- 0,019.130	- 0,021.361	- 0,022.969
45°	- 0,007.836	- 0,015.041	- 0,022.150	- 0,028.217	- 0,034.963
60°	- 0,006.428	- 0,014.078	- 0,022.984	- 0,032.269	- 0,041.861
75°	- 0,004.402	- 0,011.411	- 0,020.062	- 0,030.889	- 0,041.838
90°	- 0,001.773	- 0,006.866	- 0,014.639	- 0,024.134	- 0,034.305
105°	+ 0,001.326	- 0,000.567	- 0,005.231	- 0,012.411	- 0,021.106
120°	+ 0,004.640	+ 0,006.852	+ 0,007.108	+ 0,004.563	0
135°	+ 0,007.820	+ 0,014.781	+ 0,020.960	+ 0,025.035	+ 0,028.927
150°	+ 0,010.473	+ 0,021.698	+ 0,033.770	+ 0,045.495	+ 0,057.273
165°	+ 0,012.238	+ 0,026.262	+ 0,042.768	+ 0,059.569	+ 0,076.806
180°	+ 0,012.837	+ 0,028.157	+ 0,045.968	+ 0,064.583	+ 0,083.722

È importante mettere quindi in evidenza che è possibile calcolarne la funzione somma ricorrendo alla teoria delle serie di potenze in campo complesso. In tal via si ottiene:

$$(18) \quad M_r = M_{r_0} + \frac{\rho R^2 (\rho^2 - 1)}{2(n+3)(3+v)} \left\{ (1-v) \frac{(1+\rho^2) \cos \theta (\cos 3\theta - \rho^3) + (1-\rho^2) \sin \theta \sin 3\theta}{(1-\rho^3 \cos 3\theta)^2 + \rho^6 \sin^2 3\theta} + \right. \\ \left. + 2(1+v) \left[\frac{1}{6\rho^2} \ln \frac{(\rho^2 \cos 2\theta + \rho \cos \theta + 1)^2 + (\rho^2 \sin 2\theta + \rho \sin \theta)^2}{(1+\rho^2 - 2\rho \cos \theta)^2} - \frac{1}{\rho} \cos \theta \right] \right\}$$

$$(18') \quad M_t = M_{t_0} + \frac{\rho R^2}{2(n+3)(3+v)} \left\{ (1-v)(1-\rho^2) \frac{(1+\rho^2) \cos \theta (\cos 3\theta - \rho^3) + (1-\rho^2) \sin \theta \sin 3\theta}{(1-\rho^3 \cos 3\theta)^2 + \rho^6 \sin^2 3\theta} + \right. \\ \left. + 2(1+v)(1+\rho^2) \left[\frac{1}{6\rho^2} \ln \frac{(\rho^2 \cos 2\theta - \rho \cos \theta + 1)^2 + (\rho^2 \sin 2\theta + \rho \sin \theta)^2}{(1+\rho^2 - 2\rho \cos \theta)^2} - \frac{1}{\rho} \cos \theta \right] \right\}.$$

2. Si sono studiati i casi della variazione lungo r secondo rette e parabola rispettivamente del secondo e terzo ordine. Pertanto, per $n = 1, 2$ e 3 , sono riportati nelle Tabelle I, II, III per $v = 0, 1, i$ i valori di $w \cdot B/\rho R^4$ in funzione di ρ e θ .

TABELLA II.

Valori di $w \cdot \frac{B}{\rho R^4}$ con $\rho(r, \theta) = \rho \rho^2 \cos \theta$.

$\theta \backslash \rho$	0,2	0,4	0,6	0,8	I
0°	- 0,007.025	- 0,010.781	- 0,010.827	- 0,007.026	- 0
15°	- 0,006.948	- 0,011.023	- 0,012.071	- 0,010.174	- 0,006.258
30°	- 0,006.630	- 0,011.568	- 0,014.834	- 0,016.843	- 0,018.375
45°	- 0,005.999	- 0,011.790	- 0,017.336	- 0,022.356	- 0,027.970
60°	- 0,004.951	- 0,011.091	- 0,018.115	- 0,025.662	- 0,033.489
75°	- 0,003.422	- 0,009.039	- 0,016.341	- 0,024.631	- 0,033.470
90°	- 0,001.418	- 0,005.493	- 0,011.711	- 0,019.307	- 0,027.444
105°	+ 0,000.361	- 0,000.543	- 0,004.326	+ 0,010.009	- 0,016.885
120°	+ 0,003.521	+ 0,005.390	+ 0,005.414	+ 0,003.497	0
135°	+ 0,005.986	+ 0,011.529	+ 0,016.384	+ 0,019.804	+ 0,023.142
150°	+ 0,008.047	+ 0,017.061	+ 0,026.546	+ 0,036.150	+ 0,045.818
165°	+ 0,009.420	+ 0,020.870	+ 0,033.689	+ 0,047.358	+ 0,061.446
180°	+ 0,009.887	+ 0,022.182	+ 0,036.230	+ 0,051.359	+ 0,066.978

TABELLA III.

$$\text{Valori di } w \cdot \frac{B}{\rho R^4} \text{ con } p(r, \theta) = \rho \rho^3 \cos \theta.$$

$\theta \backslash \rho$	0,2	0,4	0,6	0,8	1
0°	- 0,005.644	- 0,008.646	- 0,008.696	- 0,005.665	0
15°	- 0,005.586	- 0,008.861	- 0,009.743	- 0,008.295	- 0,005.215
30°	- 0,005.342	- 0,009.348	- 0,012.078	- 0,013.991	- 0,015.313
45°	- 0,004.850	- 0,009.586	- 0,014.215	- 0,018.495	- 0,023.309
60°	- 0,004.021	- 0,009.074	- 0,014.932	- 0,021.290	- 0,027.907
75°	- 0,002.797	- 0,007.445	- 0,013.533	- 0,020.477	- 0,027.892
90°	- 0,001.182	- 0,004.577	- 0,009.759	- 0,016.089	- 0,022.870
105°	+ 0,000.746	- 0,000.540	- 0,003.690	- 0,008.389	- 0,013.071
120°	+ 0,002.829	+ 0,004.323	+ 0,004.348	+ 0,002.820	0
135°	+ 0,004.840	+ 0,009.413	+ 0,013.422	+ 0,016.374	+ 0,019.285
150°	+ 0,006.524	+ 0,013.922	+ 0,021.888	+ 0,029.961	+ 0,038.182
165°	+ 0,007.647	+ 0,017.066	+ 0,027.758	+ 0,039.281	+ 0,051.204
180°	+ 0,008.029	+ 0,018.144	+ 0,029.865	+ 0,042.608	+ 0,055.815

Nella fig. 1, per $n = 1, 2, 3$, sono illustrate per vari valori di θ , le sezioni della superficie elastica $w(r, \theta)$ con piani verticali; le linee a tratteggio, continua e punteggiata, corrispondono rispettivamente ai casi di $n = 1; 2; 3$, e la scala di lettura è 1 cm = $0,025 \frac{\rho R^4}{B}$. La deformazione della piastra è resa poi particolarmente evidente dalla rappresentazione a curve di livello delle fig. 2.

I momenti M_r si annullano al contorno mentre per M_θ si ricava:

$$(19) \quad (M_\theta)_{\rho=1} = (M_{\theta 0})_{\rho=1} + \frac{2 \rho R^2}{n+3} \frac{1+v}{3+v} \left[\frac{1}{6} \ln \frac{(\cos 2\theta + \cos \theta + 1)^2 + (\sin 2\theta + \sin \theta)^2}{4(1-\cos \theta)^2} - \cos \theta \right].$$

Al centro si ha:

$$(20) \quad (M_r)_{\rho=0} = - \frac{\rho R^2}{(3+n)(3+v)} \cdot \cos \theta$$

$$(20') \quad (M_\theta)_{\rho=0} = \frac{\rho R^2}{(3+n)(3+v)} \cdot \cos \theta$$

Nella Tabella IV sono riportati per $n = 1, 2, 3$, i valori di $M_r/\rho R^2$ e $M_t/\rho R^2$ rispettivamente per $\rho = 0,5$ e $\rho = 1$.

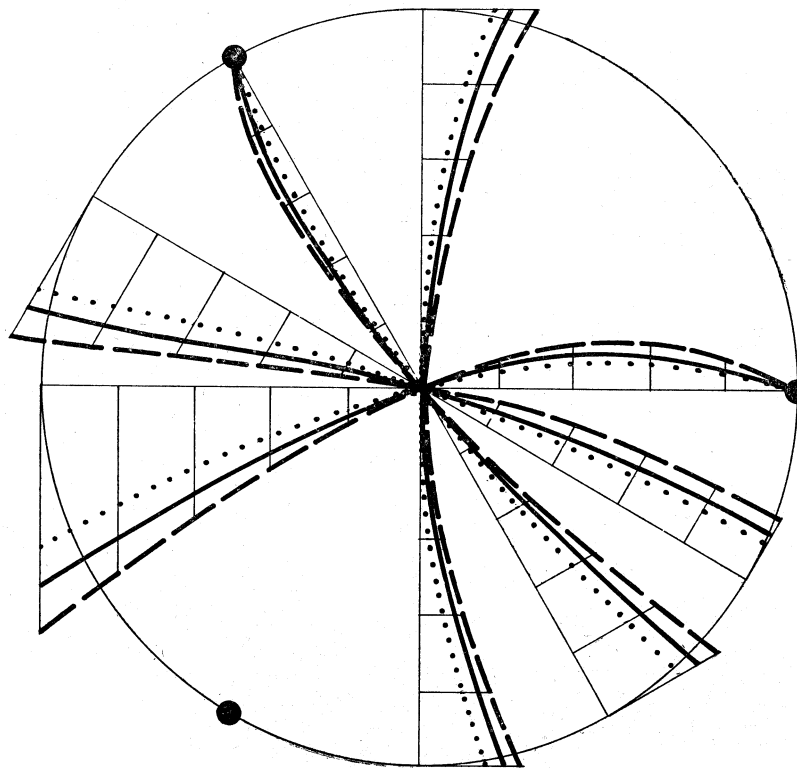


Fig. 1.

Per completezza si riportano le espressioni degli M_{r_0} e M_{t_0} corrispondenti all'integrale particolare w_0 e quindi alla piastra appoggiata su tutto il contorno e caricata dal carico secondo la distribuzione espressa dalla (10).

Si ha con la (11),

$$(11a) \quad M_{r_0} = -B \left\{ \frac{\partial^2 w_0}{\partial r^2} + \nu \left(\frac{1}{r} \frac{\partial w_0}{\partial r} + \frac{1}{r^2} \frac{\partial^2 w_0}{\partial \theta^2} \right) \right\} = \\ = -B \{A_1(n+3)(n+4+\nu)r^{n+2} + 2A_3r(3+\nu)\} \cos \theta$$

$$(11b) \quad M_{t_0} = -B \left(\frac{1}{r} \frac{\partial w_0}{\partial r} + \frac{1}{r^2} \frac{\partial^2 w_0}{\partial \theta^2} + \nu \frac{\partial^2 w_0}{\partial r^2} \right) = \\ = -B \{A_1(n+3)[1+\nu(n+4)]r^{n+2} + 2A_3r(1+3\nu)\} \cos \theta \text{ (2).}$$

(2) Se si pone $n = 1$ si ricava con le (12); (12'); (12'')

$$M_{r_0} = \frac{\rho R^2}{48} (5+\nu) \rho (1-\rho^2) \cos \theta$$

$$M_{t_0} = \frac{\rho R^2}{48} \frac{\rho}{3+\nu} [(5+\nu)(1+3\nu) - (1+5\nu)(3+\nu)\rho^2] \cos \theta$$

ricadendo così nelle formule riportate dal Timoshenko pp. 286.

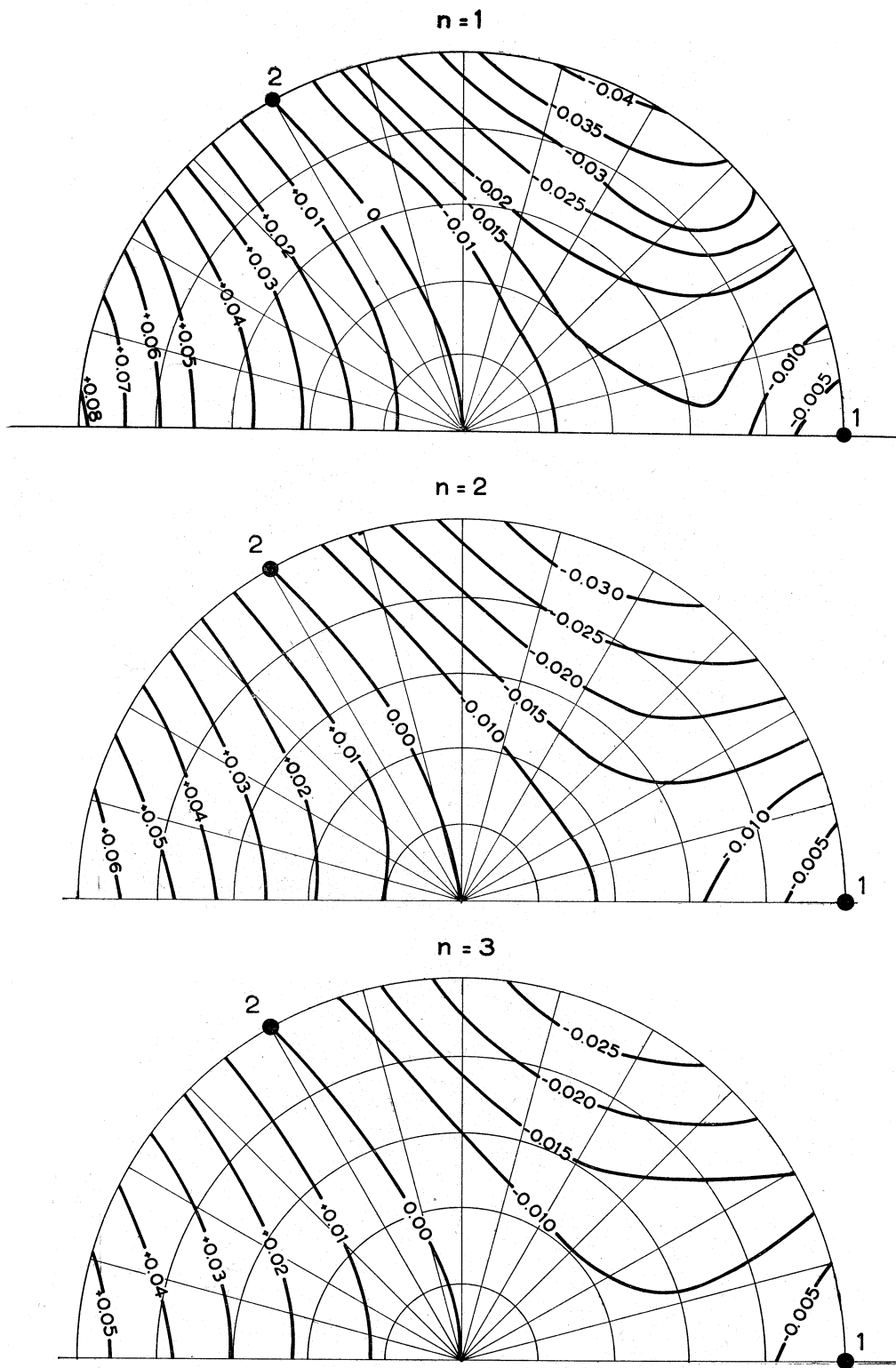


Fig. 2.

TABELLA IV.

Valori dei momenti M_r e M_t .

θ	$\rho(r, \theta) = \rho \cos \theta$		$\rho(r, \theta) = \rho^2 \cos \theta$		$\rho(r, \theta) = \rho^3 \cos \theta$	
	$\left(\frac{M_r}{\rho R^2}\right)_{q=0.5}$	$\left(\frac{M_t}{\rho R^2}\right)_{q=0.5}$	$\left(\frac{M_r}{\rho R^2}\right)_{q=1}$	$\left(\frac{M_t}{\rho R^2}\right)_{q=0.5}$	$\left(\frac{M_r}{\rho R^2}\right)_{q=1}$	$\left(\frac{M_t}{\rho R^2}\right)_{q=0.5}$
0°	- 0,11830	+ 0,08649	+ ∞	- 0,08818	+ 0,07266	+ ∞
30°	- 0,05385	+ 0,01209	- 0,02783	- 0,03749	+ 0,01268	- 0,02095
60°	+ 0,01296	- 0,05392	- 0,05437	+ 0,01359	- 0,04139	- 0,04274
90°	+ 0,04973	- 0,06907	- 0,04100	+ 0,03978	- 0,05526	- 0,03280
120°	+ 0,05913	- 0,04323	- ∞	+ 0,04408	- 0,03663	- ∞
150°	+ 0,00463	+ 0,05655	+ 0,06884	- 0,00189	+ 0,04223	+ 0,05376
180°	- 0,02602	+ 0,10795	+ 0,10864	- 0,02727	+ 0,08289	+ 0,08547

BIBLIOGRAFIA.

- A. NADÁI, *Elastische Platten*, Berlin 1925.
K. GIRKMANN, *Flächentragwerke*, Springer, Wien 1956.
S. TIMOSHENKO, S. WOINOWSKY-KRIEGER, *Theory of plates and shells*, Mc. Graw Hill, 1959.